

# تحلیل خمشی صفحات چهار گوش کامپوزیتی با لایه‌های پیزوالکتریک

## بر اساس تئوری مرتبه اول تغییر شکل برشی

### به روش کانتروویچ توسعه یافته

شیمای آذری<sup>۲</sup> و فؤاد سلماسی<sup>۳</sup>

دانشکده فنی و مهندسی

دانشگاه آزاد اسلامی - واحد تفرش

( تاریخ دریافت: ۸۸/۱۰/۲۸؛ تاریخ پذیرش: ۸۹/۷/۱۱ )

سیدمحمد مهدی نجفی زاده<sup>۱</sup>

دانشکده فنی و مهندسی

دانشگاه آزاد اسلامی - واحد اراک

#### چکیده

در این مقاله، به بررسی و تحلیل خمش ورق مستطیل شکل کامپوزیتی به همراه لایه‌های پیزوالکتریک پرداخته می‌شود. ورق میانی یک بار ایزوتروپ و بار دیگر ارتوتروپ در نظر گرفته شده و خمش ورق تحت اثر بارگذاری‌های یکنواخت و سینوسی و در حضور خاصیت پیزوالکتریک به کمک روش کانتروویچ توسعه یافته بررسی شده است. تحلیل بر اساس فرضیات تئوری مرتبه اول تغییر شکل برشی صورت گرفته و فقط به حل مکانیزم پیزوالکتریک از نوع الحاقی محدود شده است. با استفاده از روش گالرکین و به کمک روش کانتروویچ، معادلات حرکت ورق که به صورت دستگاه معادلات دیفرانسیل وابسته غیرخطی می‌باشند، به یک دستگاه معادلات دیفرانسیل خطی کوپل شده تبدیل شده‌اند. این معادلات به کمک روش اپراتور، غیرکوپل و سپس حل شده‌اند. درستی نتایج حاصل، برای ورق کامپوزیت تحت شرایط تکیه‌گاهی متفاوت، با نتایج حاصل از حل ANSYS و همچنین تحلیل بر مبنای فرضیات تئوری کلاسیک صفحات مقایسه و تأیید شده است. نتایج نشان می‌دهد که روش کانتروویچ، روش دقیقی برای حل معادلات مربوطه بوده و پاسخ‌ها به سرعت هم‌گرا می‌شوند.

**واژه‌های کلیدی:** روش کانتروویچ توسعه یافته، روش گالرکین، تئوری مرتبه اول تغییر شکل برشی، روش اپراتور، پیزوالکتریک

## Bending Analysis of Rectangular Composite Plates with Piezoelectric Layers, Based on the First Order Shear Deformation Theory, Using the Extended Kantorovich Method

M.M. Najafizadeh

Mech. Eng. Dep't.  
Islamic Azad Univ., Arak Branch

Sh. Azari and F. Salmasi

Mech. Eng. Dep't.  
Islamic Azad Univ., Tafresh Branch

( Received: 18 Jan. 2010, Accepted: 3 Oct. 2010 )

#### ABSTRACT

This paper presents a theoretical bending analysis of rectangular composite plates with piezoelectric layers. The host plate has been chosen orthotropic and isotropic, respectively and has been analyzed under uniform and sinusoidal loads with piezoelectric property, using the extended Kantorovich iterative procedure. The solution has been developed, based on the first order shear deformation theory, and it is limited only for the solution of extension type piezoelectric mechanism. With the iterative procedure and using Galerkin method, the dependent non-linear system of differential equations of the plate have been changed to the couple linear differential equations, which is decoupled and solved by the operator method. The Result of the present analytical method for composite plate, under different boundary conditions, have been verified by comparing with classical plate theory results and with finite element and ANSYS result. The results show high accuracy, while the iterative process converges very rapidly.

**Keywords:** Extended Kantorovich Method, Galerkin Method, First Order Shear Deformation Theory, Operator Method, Piezoelectric

۱- دانشیار ( نویسنده پاسخگو): mohammadnajafizadeh@yahoo.com

۲- مربی

۳- مربی

## ۱- مقدمه

استفاده‌های نخستین از مواد پیزوالکتریک به سال ۱۸۸۰، زمانی که برادران کوری اثر مستقیم مواد پیزوالکتریک را کشف کردند. از آن زمان تا چند دهه پیش، استفاده از مواد پیزوالکتریک به استفاده‌های گوناگون در ترانسدیوسرها محدود شده بود، اما استفاده از آنها به عنوان محرک‌ها در سال‌های ۱۹۸۰ آغاز گردید. همچنین توسعه و گسترش مواد کامپوزیتی هوشمند برای استفاده در سازه‌های هوا و فضا مورد توجه قرار گرفت [۱]. از انواع سرامیک‌ها که می‌توانند خواص پیزوالکتریکی داشته باشند می‌توان به سرب-تیتانیت- زیرکونیت<sup>۱</sup> اشاره کرد. نوع دیگری از این پیزوسرامیک‌ها شامل سرب-زیرکونیت<sup>۲</sup> و سرب-تیتانیت<sup>۳</sup> می‌باشد و همچنین می‌توان به باریم-تیتانیت<sup>۴</sup> نیز اشاره کرد.

اغلب آنالیزهای دوبعدی اجزاء محدود برای صفحات و پوسته‌هایی که در سازه‌های هوشمند به کار می‌روند، بر پایه تئوری کلاسیک صفحات یا تئوری لایه‌ای صفحات می‌باشد که در آن میدان جابه‌جایی در طول ضخامت، خطی در نظر گرفته شده است [۲].

کارگر نوین و نجفی زاده، ارتعاشات ورق FGM با لایه‌های محرک و سنسور را مورد بررسی قرار داده‌اند. معادلات دیفرانسیل حرکت ورق را بر اساس تئوری کلاسیک صفحات به دست آورده و معادله حرکت حاصل، با استفاده از سری‌های فوریه حل شده و تأثیر افزایش حجم ماده FGM روی تغییرات فرکانس مورد بررسی قرار گرفته است [۳].

میشل و ردی<sup>۵</sup> معادلات حرکت ورق کامپوزیتی با لایه‌های پیزوالکتریک را مورد بررسی قرار داده‌اند. معادلات حرکت بر اساس روش انرژی به دست آمده و محاسبات بر مبنای کوپلینگ بین تغییر شکل‌های مکانیکی و تغییرات شارژ الکتریکی صورت گرفته است [۴]. روش کانتروویچ توسط کِر<sup>۶</sup> [۵] در سال ۱۹۶۸ برای حل مسئله پیچش میله منشوری با مقطع مستطیل شکل مورد استفاده قرار گرفت.

نتایج این آنالیزها تطابق زیادی با حل‌های شناخته شده‌ای که در دسترس می‌باشد دارد. پس از آن این روش، برای حل مسائل گوناگون در الاستیسیته دوبعدی از جمله مسئله خمش ورق نازک مستطیل شکل ایزوتروپ [۶]، حل مسئله مقدار ویژه در سال ۱۹۶۹ توسط کر [۷]، ارتعاشات آزاد [۸]، کماتش [۹-۱۱] و آنالیز کرنش [۱۲] توسط کیم<sup>۷</sup> مورد توجه قرار گرفت.

اقدام [۱۳] پاسخی را برای خمش در ورق مستطیلی از نوع رایزنر و ایزوتروپیک گیردار به دست آورده است. پس از آن اقدام و فلاحتگر [۱۴]، این مدل را برای رسیدن به رفتار خمشی در ورق‌های مستطیلی ضخیم گسترش دادند.

در مرجع [۱۵]، با معرفی روش‌های کانتروویچ کلاسیک و توسعه یافته، نیروهای کماتش<sup>۸</sup> محاسبه شده است.

همچنین صحت روش کانتروویچ در مختصاتی غیر از مختصات کارتزین توسط اقدام در سال ۲۰۰۷ برای آنالیز تنش قطاع [۱۶] و خمش ورق قطاع نازک ارتوتروپ [۱۷]، و ابوحمزه<sup>۹</sup> [۱۸] در سال ۲۰۰۷ برای پنل استوانه‌ای کامپوزیتی مورد بررسی قرار گرفته است.

کر و دالایی<sup>۱۰</sup> [۱۹]، ورق لایه‌ای مستطیلی مبتنی بر تئوری کلاسیک را بررسی کرده و دریافتند که هم‌گرایی در جواب روشی که مبتنی بر روش کانتروویچ توسعه یافته است بسیار سریع بوده و شکل نهایی پاسخ به دست آمده، مستقل از نخستین انتخاب است.

کر و الکساندر<sup>۱۱</sup> [۲۰]، نشان دادند که روش تکرار شونده به سرعت هم‌گرا بوده و شکل نهایی معادله به دست آمده، مستقل از انتخاب اولیه  $g_n(y)$  است. به علاوه هر چند روش کانتروویچ توسعه یافته مبتنی بر اصل تغییرات است، تابع آزمون اولیه لازم نیست هیچ‌کدام از شرایط مرزی هندسی و طبیعی را ارضاء کند. روش تکرار شونده پاسخی می‌دهد که سرانجام تمام شرایط مرزی را ارضاء می‌کند [۲۱].

با مروری بر تحقیقات صورت گرفته مشخص می‌شود که تنها تعداد کمی از تحقیقات، پاسخ خمشی ورق را با استفاده

7- Kim

8- buckling loads

9- Abouhamze

10- Dalei

11- Alexander

1- Lead-Zirconate Titanate

2- Lead-Zirconate (PbZrO<sub>3</sub>)3- Lead-Titanate (PbTiO<sub>2</sub>)4- Barium-Titanate (BaTiO<sub>3</sub>)

5- Mitchell &amp; Reddy

6- Kerr

تغییرات،  $m$  معادله دیفرانسیل معمولی برای تعیین  $m$  تابع مجهول  $f_n(x)$  به دست خواهد آمد. این معادلات دیفرانسیل توسط شرایط مرزی متناظر حل می‌شوند. سپس توابع  $f_n(x)$  به وجود آمده دوباره در معادله (۲) جایگزین می‌شود [۲۱].

در روش کانتروویچ توسعه یافته، عملیات تکرار ادامه می‌یابد تا پاسخ به درجه دقت مطلوب هم‌گرا شود. برای این حالت فرض می‌شود خیز ورق به شکل زیر است [۲۱]:

$$w_m(x, y) = \sum_{n=1}^m f_n(x) \cdot g_n(y) \quad (۳)$$

که در آن،  $f_n(x)$  توابع به دست آمده از مرحله قبل (کانتروویچ کلاسیک) بوده و  $g_n(y)$  مجهول است. تکرار با جایگزینی مجدد  $g_n(y)$  در معادله (۲) و به دست آوردن مجهول  $f_n(x)$  ادامه می‌یابد [۲۱].

### ۳- استخراج معادلات حرکت ورق بر اساس تئوری مرتبه اول تغییر شکل برشی $^2$ (FSDT)

در تئوری مرتبه اول، همانند تئوری کلاسیک، دو فرض زیر معتبر است:

- (۱) خطوط مستقیم عمود بر صفحه میانی قبل از تغییر شکل، بعد از تغییر شکل هم مستقیم باقی می‌مانند و
- (۲) خطوط مستقیم عمود بر صفحه میانی، تغییر طول نمی‌دهند.

اما، در تئوری مرتبه اول تغییر شکل برشی، بر خلاف فرضیات تئوری کلاسیک، صفحات عمود بر سطح میانی، بعد از تغییر شکل دیگر بر سطح میانی عمود باقی نمی‌مانند (شکل ۱). در نتیجه با در نظر گرفتن این تئوری، مؤلفه‌های کرنش نرمال  $\epsilon_{xx}, \epsilon_{yy}$  و کرنش برشی  $\epsilon_{xy}, \epsilon_{yz}, \epsilon_{xz}$  وجود داشته و تنها مؤلفه کرنش نرمال  $\epsilon_{zz}$  صفر می‌باشد. همچنین مؤلفه‌های جابه‌جایی در راستای  $X$  و  $Y$  (یعنی  $U, V$ ) به صورت توابعی خطی نسبت به  $Z$  فرض گردیده و مؤلفه جابه‌جایی در راستای ضخامت، یعنی  $W$  مستقل از  $Z$  در نظر گرفته می‌شود. با این توضیح میدان جابه‌جایی به صورت زیر نوشته می‌شود [۲۲]:

از روش کانتروویچ به دست آورده و تا کنون تمامی آن‌ها به حالتی که تمام لبه‌های ورق گیردار باشد محدود شده‌اند.

در این مقاله، از روش کانتروویچ توسعه یافته و با استفاده از روش گالرکین و به کمک روش اپراتور، معادلات دیفرانسیل تعادل ورق مستطیل شکل کامپوزیتی به همراه لایه‌های پیزوالکتریک تحلیل شده است. سپس نتایج حاصل برای ورق، تحت شرایط تکیه‌گاهی متفاوت و تحت اثر بارگذاری‌های یکنواخت و سینوسی و در حضور خاصیت پیزوالکتریک، با نتایج حاصل از حل ANSYS و همچنین حل بر اساس فرضیات تئوری کلاسیک صفحات مقایسه شده است.

### ۲- روش کانتروویچ

برای حل معادله دیفرانسیل به کمک روش کانتروویچ، تابع مورد نظر به صورت حاصل ضرب توابعی از متغیرهای موجود در معادله دیفرانسیل مطابق رابطه زیر در نظر گرفته می‌شود:

$$W(x, y) = K \cdot \Phi(x) \cdot \Psi(y) \quad (۱)$$

که در آن، ضریب  $K$  برای بی‌بعد کردن توابع  $\Phi(x), \Psi(y)$  می‌باشد [۲۱].

در معادله (۱) یکی از توابع  $\Phi(x)$  و یا  $\Psi(y)$  را معلوم فرض نموده و با قرار دادن معادله (۱) در معادله دیفرانسیل خمش ورق و با استفاده از یکی از روش‌های باقی‌مانده وزنی<sup>۱</sup>، معادله دیفرانسیل دیگری که به صورت معادله دیفرانسیل کامل می‌باشد، به دست خواهد آمد. در مرحله بعد، جواب به دست آمده را معلوم فرض نموده و به کمک رابطه (۱) و معادله دیفرانسیل مسئله، تابع دیگر به دست می‌آید. این عمل تکرار شده تا جواب‌ها به مقدار خاص هم‌گرا شوند [۲۱].

در روش کانتروویچ کلاسیک فرض می‌شود که جابه‌جایی ورق به صورت زیر است:

$$w_m(x, y) = \sum_{n=1}^m f_n(x) \cdot g_{n-1}(y) \quad (۲)$$

که در آن، توابع انتخابی قبلی هستند [۲۱].

رابطه (۲) در معادله حرکت ورق جایگزین شده و سپس با اعمال روش گالرکین و با استفاده از قضیه اساسی حساب

بوده و با توجه به فرضیات FSDT با رابطه زیر تعریف می‌شود [۲۲]:

$$\delta U = \int_{\Omega_0} \int_{-h/2}^{h/2} (\sigma_{xx} \delta \epsilon_{xx} + \sigma_{yy} \delta \epsilon_{yy} + 2\sigma_{xy} \delta \epsilon_{xy} + 2\sigma_{xz} \delta \epsilon_{xz} + 2\sigma_{yz} \delta \epsilon_{yz}) dz dx dy \quad (۸)$$

در رابطه فوق  $\Omega_0$  معرف محدوده سطح ورق قبل از تغییر شکل است. با انتگرال گیری از رابطه فوق در راستای ضخامت خواهیم داشت:

$$\delta U = \int_{\Omega_0} (N_{xx} \delta \epsilon_{xx}^0 + M_{xx} \delta \epsilon_{xx}^1 + N_{yy} \delta \epsilon_{yy}^0 + M_{yy} \delta \epsilon_{yy}^1 + N_{xy} \delta \gamma_{xy}^0 + M_{xy} \delta \gamma_{xy}^1 + Q_x \delta \gamma_{xz}^0 + Q_y \delta \gamma_{yz}^0) dx dy \quad (۹)$$

که در آن،  $N_{ij}$  نیروهای درون صفحه‌ای،  $M_{ij}$  ممان‌ها و  $Q_i$  نیروهای برشی در واحد طول می‌باشند و به صورت زیر تعریف می‌شوند [۲۲]:

$$\{N_{xx}, N_{yy}, N_{xy}\} = \int_{-h/2}^{h/2} \{\sigma_{xx}, \sigma_{yy}, \sigma_{xy}\} \cdot dz \quad (۱۰)$$

$$\{M_{xx}, M_{yy}, M_{xy}\} = \int_{-h/2}^{h/2} \{\sigma_{xx}, \sigma_{yy}, \sigma_{xy}\} \cdot z \cdot dz \quad (۱۱)$$

$$\{Q_x, Q_y\} = K_s \int_{-h/2}^{h/2} \{\sigma_{yz}, \sigma_{xz}\} dz \quad (۱۲)$$

در رابطه فوق،  $K_s$  ضریب تصحیح برش<sup>۱</sup> بوده و مقدار آن با توجه به شکل مقطع  $5/6$  می‌باشد. در صورتی که  $q$  بار خارجی وارد بر ورق باشد، مقدار انرژی پتانسیل از رابطه زیر به دست می‌آید [۲۲]:

$$\delta V = - \int_{\Omega_0} q \delta w_0 \cdot dx dy \quad (۱۳)$$

همچنین انرژی جنبشی عبارتست از:

$$\delta K = \int_{\Omega_0} \int_{-h/2}^{h/2} \rho_0 (\dot{u} \delta \dot{u} + \dot{v} \delta \dot{v} + \dot{w} \delta \dot{w}) dz dx dy \quad (۱۴)$$

که در آن،  $\rho_0$  معرف چگالی است. با قرار دادن رابطه (۴) در رابطه (۱۴) نتیجه می‌شود:

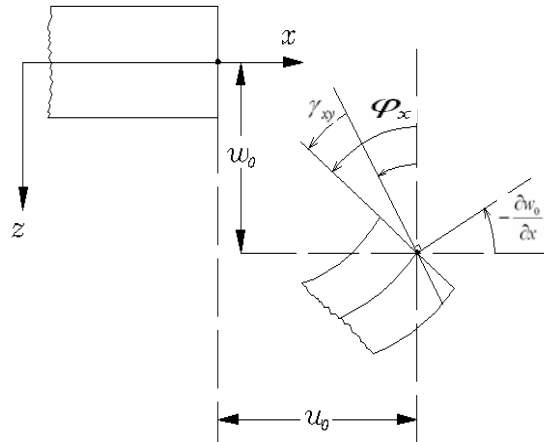
$$\delta K = \int_{\Omega_0} [-I_0 (\dot{u}_0 \delta \dot{u}_0 + \dot{v}_0 \delta \dot{v}_0 + \dot{w}_0 \delta \dot{w}_0) - I_1 (\dot{\phi}_x \delta \dot{\phi}_x + \dot{\phi}_y \delta \dot{\phi}_y) + \dot{\phi}_y \delta \dot{v}_0 + \dot{\phi}_x \delta \dot{v}_0 - I_2 (\dot{\phi}_x \delta \dot{\phi}_x + \dot{\phi}_y \delta \dot{\phi}_y)] dx dy \quad (۱۵)$$

در رابطه فوق، مقادیر  $I_0, I_1, I_2$  به صورت زیر تعریف می‌شود:

$$\begin{aligned} \{I_0, I_1, I_2\} &= \int_{-h/2}^{h/2} \{1, z, z^2\} \rho dz \\ &= \rho \left\{ h, 0, \frac{h^3}{12} \right\} \end{aligned} \quad (۱۶)$$

$$\begin{aligned} u(x, y, z, t) &= u_0(x, y, t) - z \phi_x(x, y, t), \\ v(x, y, z, t) &= v_0(x, y, t) - z \phi_y(x, y, t), \\ w(x, y, z, t) &= w_0(x, y, t). \end{aligned} \quad (۴)$$

در رابطه (۴)،  $u_0(x, y, t), v_0(x, y, t), w_0(x, y, t)$  مؤلفه‌های جابه‌جایی صفحه میانی  $\phi_x(x, y, t)$  و  $\phi_y(x, y, t)$  چرخش عمود بر صفحه میانی به ترتیب حول محورهای  $x$  و  $y$  می‌باشند.



شکل (۱): نمودار خیز ورق با فرضیات تئوری مرتبه اول تغییر شکل برشی.

همچنین مؤلفه‌های کرنش در هر نقطه از ورق مطابق رابطه زیر تعریف می‌شود [۲۲]:

$$\{\epsilon\} = \{\epsilon^0\} + (z) \{\epsilon^1\} \quad (۵)$$

در رابطه فوق [۲۲]:

$$\begin{aligned} \{\epsilon\} &= \{\epsilon_{xx} \quad \epsilon_{yy} \quad \gamma_{yz} \quad \gamma_{xz} \quad \gamma_{xy}\}^T, \\ \{\epsilon^0\} &= \left\{ \frac{\partial u_0}{\partial x} + \frac{1}{2} \left( \frac{\partial w_0}{\partial x} \right)^2, \frac{\partial v_0}{\partial y} + \frac{1}{2} \left( \frac{\partial w_0}{\partial y} \right)^2, \right. \\ &\quad \left. \frac{\partial w_0}{\partial y} + \phi_y, \frac{\partial w_0}{\partial x} + \phi_x, \frac{\partial v_0}{\partial x} + \frac{\partial u_0}{\partial y} + \frac{\partial w_0}{\partial y} \frac{\partial w_0}{\partial x} \right\}^T, \\ \{\epsilon^1\} &= \left\{ \frac{\partial \phi_x}{\partial x}, \frac{\partial \phi_y}{\partial y}, 0, 0, \frac{\partial \phi_x}{\partial y} + \frac{\partial \phi_y}{\partial x} \right\}^T. \end{aligned} \quad (۶)$$

برای تعیین معادلات حاکم بر ورق از اصل همیلتون استفاده می‌شود [۲۲].

$$\int_0^T (\delta U + \delta V - \delta K) dt = 0 \quad (۷)$$

در این رابطه،  $\delta U$  انرژی کرنشی مجازی،  $\delta V$  کار مجازی انجام شده توسط نیروی خارجی،  $\delta K$  انرژی جنبشی مجازی

1- Shear Correction Factor

۴- تحلیل خمش ورق پیزو- ارتوتروپ با تئوری FSDT به کمک روش کانترووچ توسعه یافته

از آنجا که مدل ورق مورد بحث دارای سه لایه بوده که شامل دو تکه ورق پیزوالکتریک و یک ورق از جنس ارتوتروپ است، مقادیر  $M_{xx}, M_{yy}, M_{xy}, N_{xx}, N_{yy}$  و  $N_{xy}$  کل با توجه به رابطه (۱۱-۱۰)، برابر است با:

$$\begin{Bmatrix} N_{xx} \\ N_{yy} \\ N_{xy} \end{Bmatrix} = \int_{z_2}^{z_1} \begin{Bmatrix} \sigma_{xx}^h \\ \sigma_{yy}^h \\ \sigma_{xy}^h \end{Bmatrix} dz + \int_{z_1}^{z_2} \begin{Bmatrix} \sigma_{xx}^a \\ \sigma_{yy}^a \\ \sigma_{xy}^a \end{Bmatrix} R dz + \int_{z_2}^{z_3} \begin{Bmatrix} \sigma_{xx}^s \\ \sigma_{yy}^s \\ \sigma_{xy}^s \end{Bmatrix} R dz, \quad (21)$$

$$\begin{Bmatrix} M_{xx} \\ M_{yy} \\ M_{xy} \end{Bmatrix} = \int_{z_2}^{z_1} \begin{Bmatrix} \sigma_{xx}^h \\ \sigma_{yy}^h \\ \sigma_{xy}^h \end{Bmatrix} z dz + \int_{z_1}^{z_2} \begin{Bmatrix} \sigma_{xx}^a \\ \sigma_{yy}^a \\ \sigma_{xy}^a \end{Bmatrix} R z dz + \int_{z_2}^{z_3} \begin{Bmatrix} \sigma_{xx}^s \\ \sigma_{yy}^s \\ \sigma_{xy}^s \end{Bmatrix} R z dz, \quad (22)$$

که در آن‌ها، نماد  $h$  مربوط به صفحه میانی<sup>۱</sup> و  $a$  مربوط به صفحه محرک<sup>۲</sup> و  $s$  مربوط به صفحه سنسور<sup>۳</sup> و مقدار  $R$  در رابطه بالا همان معادله باکس کار<sup>۴</sup> می باشد که به صورت زیر تعریف می شود:

$$R(x, y) = [H(x-a) - H(x+a)] \cdot [H(y-a) - H(y+a)] = \begin{cases} 1 & -a < x < a, \quad -b < y < b, \\ 0 & \text{for other points.} \end{cases}$$

در حالت کلی، و در جایی که سازوکار عمل کرد پیزوالکتریک از نوع الحاقی باشد، صرف نظر از مؤلفه های کشش صفحه میانی ( $u_0(x, y)$  و  $v_0(x, y)$ )، می توان مقادیر نتیجه های نیرو و ممان برای ورق کامپوزیتی با لایه های پیزوالکتریک را بر اساس روابط (۱۲-۱۱) به صورت زیر نوشت [۲۱]:

$$\begin{Bmatrix} M_{xx} \\ M_{yy} \\ M_{xy} \end{Bmatrix} = \begin{bmatrix} D_{11} & D_{12} & 0 \\ D_{12} & D_{22} & 0 \\ 0 & 0 & D_{66} \end{bmatrix} \begin{Bmatrix} \frac{\partial \phi_x}{\partial x} \\ \frac{\partial \phi_y}{\partial y} \\ \frac{\partial \phi_x}{\partial y} + \frac{\partial \phi_y}{\partial x} \end{Bmatrix} + \begin{Bmatrix} F_x(x, y) \\ F_y(x, y) \\ 0 \end{Bmatrix}. \quad (23)$$

و همچنین داریم [۲۳]:

با جای گذاری مقادیر انرژی جنبشی و پتانسیل و کار مجازی ناشی از نیروی خارجی در رابطه (۷) و ساده سازی نتیجه می شود [۲۲]:

$$\int_{\Omega_0} \left\{ \int_0^t [- (N_{xx,x} + N_{yy,y} - I_0 \ddot{u}_0 - I_1 \ddot{\phi}_x) \delta u_0 - (N_{xy,x} + N_{yy,y} - I_0 \dot{v}_0 - I_1 \dot{\phi}_y) \delta v_0 - (M_{xx,x} + M_{yy,y} - Q_x - I_0 \dot{\phi}_x - I_1 \ddot{u}_0) \delta \phi_x - (M_{xy,x} + M_{yy,y} - Q_y - I_0 \dot{\phi}_y - I_1 \dot{v}_0) \delta \phi_y - (Q_{x,x} + Q_{y,y} + \alpha(u_0, v_0, w_0) + q - I_0 \ddot{w}_0) \delta w_0] dx dy dt = 0, \right. \quad (17)$$

که در آن، [۲۲]:

$$\alpha(u_0, v_0, w_0) = \frac{\partial}{\partial x} (N_{xx} \frac{\partial w_0}{\partial x} + N_{xy} \frac{\partial w_0}{\partial y}) + \frac{\partial}{\partial y} (N_{xy} \frac{\partial w_0}{\partial x} + N_{yy} \frac{\partial w_0}{\partial y}). \quad (18)$$

با برابر صفر قرار دادن ضرایب  $\delta u_0, \delta v_0, \delta w_0, \delta \phi_x, \delta \phi_y$  معادلات حرکت به صورت زیر تعیین می شوند [۲۲]:

$$\begin{aligned} \frac{\partial N_{xx}}{\partial x} + \frac{\partial N_{xy}}{\partial y} &= I_0 \frac{\partial^2 u_0}{\partial t^2} + I_1 \frac{\partial^2 \phi_x}{\partial t^2}, \\ \frac{\partial N_{xy}}{\partial x} + \frac{\partial N_{yy}}{\partial y} &= I_0 \frac{\partial^2 v_0}{\partial t^2} + I_1 \frac{\partial^2 \phi_y}{\partial t^2}, \\ \frac{\partial Q_x}{\partial x} + \frac{\partial Q_y}{\partial y} + \alpha(u_0, v_0, w_0) + q &= I_0 \frac{\partial^2 w_0}{\partial t^2}, \\ \frac{\partial M_{xx}}{\partial x} + \frac{\partial M_{xy}}{\partial y} - Q_x &= I_1 \frac{\partial^2 u_0}{\partial t^2} + I_2 \frac{\partial^2 \phi_x}{\partial t^2}, \\ \frac{\partial M_{xy}}{\partial x} + \frac{\partial M_{yy}}{\partial y} - Q_y &= I_1 \frac{\partial^2 v_0}{\partial t^2} + I_2 \frac{\partial^2 \phi_y}{\partial t^2}. \end{aligned} \quad (19)$$

در نهایت، با صرف نظر از ترم زمان، معادلات تعادل ورق بر اساس تئوری مرتبه اول تغییر شکل برشی (FSDT)، به صورت زیر تعیین می شود [۲۲]:

$$\begin{aligned} \frac{\partial N_{xx}}{\partial x} + \frac{\partial N_{xy}}{\partial y} &= 0, \\ \frac{\partial N_{xy}}{\partial x} + \frac{\partial N_{yy}}{\partial y} &= 0 \sqrt{a^2 + b^2}, \\ \frac{\partial Q_x}{\partial x} + \frac{\partial Q_y}{\partial y} + N_x \frac{\partial w}{\partial x^2} + 2N_{xy} \frac{\partial w}{\partial x \partial y} + N_y \frac{\partial w}{\partial y^2} + q &= 0, \\ \frac{\partial M_{xx}}{\partial x} + \frac{\partial M_{xy}}{\partial y} - Q_x &= 0, \\ \frac{\partial M_{xy}}{\partial x} + \frac{\partial M_{yy}}{\partial y} - Q_y &= 0. \end{aligned} \quad (20)$$

1- Host  
2- Actuator  
3- Sensor  
4- Box Car Function

$$\begin{aligned} w(x, y) &= k \cdot W_x(x) \cdot W_y(y), \\ \phi_x(x, y) &= \phi_x(x) \cdot \phi_y(y), \\ \phi_y(x, y) &= \phi_y(x) \cdot \phi_y(y), \\ k &= \sqrt{ab}. \end{aligned} \quad (28)$$

که در آن،  
 در حالتی که مکانیزم عمل کرد پیزوالکتریک از نوع الحاقی باشد، مقادیر منته‌های ممان ناشی از تحریک لایه‌های پیزوالکتریک به صورت زیر تعریف می‌شوند [۲۶]:

$$\begin{aligned} q(x, y) &= q_0 \cdot \sin(k_x \cdot x) \sin(k_y \cdot y), \\ \left\{ \begin{matrix} F_x(x, y) \\ F_y(x, y) \end{matrix} \right\} &= \left\{ \begin{matrix} f \cdot \sin(k_x \cdot x) \sin(k_y \cdot y) \\ f \cdot \sin(k_x \cdot x) \sin(k_y \cdot y) \end{matrix} \right\}, \\ k_x &= \frac{m \cdot \pi}{a}, k_y = \frac{n \cdot \pi}{b}. \end{aligned} \quad (29)$$

با قرار دادن مقادیر رابطه (۲۸) در دستگاه (۲۷)، دستگاه سه معادله به صورت زیر تبدیل می‌شود:

$$\begin{aligned} K_s A_{55} \left( k \frac{\partial^2 W(x)}{\partial x^2} \cdot W(y) + \frac{\partial \phi_x(x)}{\partial x} \cdot \phi_y(y) \right) \\ + K_s A_{44} \left( k \frac{\partial^2 W(y)}{\partial y^2} \cdot W(x) + \frac{\partial \phi_y(y)}{\partial y} \cdot \phi_x(x) \right) = -q. \end{aligned} \quad (30)$$

$$\begin{aligned} D_{11} \frac{\partial^2 \phi_x(x)}{\partial x^2} \cdot \phi_y(y) + D_{66} \frac{\partial^2 \phi_y(y)}{\partial y^2} \cdot \phi_x(x) \\ + (D_{12} + D_{66}) \frac{\partial \phi_x(x)}{\partial x} \cdot \frac{\partial \phi_y(y)}{\partial y} + \frac{\partial F_x(x, y)}{\partial x} - K_s A_{55} (\phi_x(x) \cdot \phi_y(y)) \\ + k \frac{\partial W(x)}{\partial x} \cdot W(y) = 0. \end{aligned} \quad (31)$$

$$\begin{aligned} D_{22} \frac{\partial^2 \phi_y(y)}{\partial y^2} \cdot \phi_x(x) + D_{66} \frac{\partial^2 \phi_x(x)}{\partial x^2} \cdot \phi_y(y) \\ + (D_{12} + D_{66}) \frac{\partial \phi_x(x)}{\partial x} \cdot \frac{\partial \phi_y(y)}{\partial y} + \frac{\partial F_y(x, y)}{\partial y} - K_s A_{44} (\phi_x(x) \cdot \phi_y(y)) \\ + k \frac{\partial W(y)}{\partial y} \cdot W(x) = 0. \end{aligned} \quad (32)$$

روابط (۳۰-۳۲) پس از ساده‌سازی، به ترتیب در  $\phi_x(y)$ ،  $\phi_y(y)$  و  $W(y)$  ضرب و از آن‌ها روی ناحیه  $(0, b)$ ، (طول ورق) انتگرال گرفته می‌شود. با ساده‌سازی روابط، دستگاه معادلات دیفرانسیل را به صورت زیر می‌توان نوشت:

$$\begin{aligned} k(F_1 d^2 + c_1 F_7) W(x) + F_4 d \phi_x(x) + c_1 F_5 \phi_y(x) &= B_1, \\ -k c_3 F_4 d W(x) + (F_2 d^2 + c_6) \phi_x(x) + c_4 F_6 d \phi_y(x) &= B_2, \\ -k c_3 F_{10} W(x) + c_4 F_{11} d \phi_x(x) + (c_5 F_3 d^2 + c_7) \phi_y(x) &= B_3. \end{aligned} \quad (33)$$

در مجموعه معادلات فوق:  $d = \frac{d}{dy}$ ،  $d^2 = \frac{d^2}{dy^2}$  و هم‌چنین

داریم:

$$\left\{ \begin{matrix} Q_y \\ Q_x \end{matrix} \right\} = K_s \begin{bmatrix} A_{44} & 0 \\ 0 & A_{55} \end{bmatrix} \left\{ \begin{matrix} \frac{\partial w}{\partial y} + \phi_y \\ \frac{\partial w}{\partial x} + \phi_x \end{matrix} \right\}. \quad (24)$$

که در آن،  $A_{ij}$  مؤلفه‌های ماتریس سختی کششی<sup>۱</sup> و  $D_{ij}$  مؤلفه‌های ماتریس سختی خمشی<sup>۲</sup> می‌باشند و عبارتند از [۲۴]:

$$A_{ij} = \sum_{k=1}^n \int_{z_{k-1}}^{z_k} (\bar{Q}_{ij})_k dz, \quad (25)$$

$$D_{ij} = \sum_{k=1}^n \int_{z_{k-1}}^{z_k} (\bar{Q}_{ij})_k (z)^2 dz.$$

همچنین،  $F_y(x, y)$ ،  $F_x(x, y)$  ممان‌های تحریک پیزوالکتریک هستند که عبارتند از [۲۵]:

$$F_{ii} = \int_{-h/2}^{h/2} \left( \frac{Q_{i3} e_{33}}{Q_{33}} - e_{i3} \right) E_3 \cdot z dz. \quad (26)$$

در رابطه (۲۶)،  $E_3$  مؤلفه میدان الکتریکی عمود بر ورق،  $Q_{ij}$  ثابت الاستیسیته ورق پیزوالکتریک و  $e_{ij}$  ثابت‌های پیزوالکتریک می‌باشد [۲۵]. با توجه به اینکه دو معادله اول (۲۰) مستقل از  $w$  می‌باشند، لذا برای تحلیل فقط سه معادله آخر (۲۰) را مد نظر قرار داده و با جای‌گذاری روابط (۲۱-۲۲) در این سه معادله خواهیم داشت:

$$\begin{aligned} K_s A_{55} \left( \frac{\partial^2 w}{\partial x^2} + \frac{\partial \phi_x}{\partial x} \right) + K_s A_{44} \left( \frac{\partial^2 w}{\partial y^2} + \frac{\partial \phi_y}{\partial y} \right) &= -q, \\ D_{11} \frac{\partial^2 \phi_x}{\partial x^2} + D_{12} \frac{\partial^2 \phi_y}{\partial x \partial y} + D_{66} \left( \frac{\partial^2 \phi_x}{\partial y^2} + \frac{\partial^2 \phi_y}{\partial x \partial y} \right) + \frac{\partial F_x(x, y)}{\partial x} \\ - K_s A_{55} \left( \frac{\partial w}{\partial x} + \phi_x \right) &= 0, \\ D_{22} \frac{\partial^2 \phi_y}{\partial y^2} + D_{12} \frac{\partial^2 \phi_x}{\partial x \partial y} + D_{66} \left( \frac{\partial^2 \phi_y}{\partial y^2} + \frac{\partial^2 \phi_x}{\partial x \partial y} \right) + \frac{\partial F_y(x, y)}{\partial y} \\ - K_s A_{44} \left( \frac{\partial w}{\partial y} + \phi_y \right) &= 0. \end{aligned} \quad (27)$$

دستگاه (۲۷) یک دستگاه معادلات دیفرانسیل غیر خطی کوپل است که با روش‌های معمول به آسانی قابل حل نیست، اما می‌توان با استفاده از روش کانتروویچ آن را به یک دستگاه معادلات دیفرانسیل خطی، که به راحتی قابل حل است، تبدیل کرد. برای این منظور، و بر اساس آنچه که درباره روش کانتروویچ توضیح داده شد، توابع جابه‌جایی و چرخش به صورت زیر در نظر گرفته می‌شوند:

1- Extensional Stiffness Matrix  
 2- Bending Stiffness Matrix

$$\Delta_{W(x)} = \begin{vmatrix} B_1 & F_4 d & c_1 F \\ B_2 & F_2 d^2 + c_6 & c_4 F_6 d \\ B_3 & c_4 F_{11} d & c_5 F_3 d^2 + c_7 \end{vmatrix},$$

$$\Delta_{\phi_x(x)} = \begin{vmatrix} k(F_1 d^2 + c_1 F_7) & B_1 & c_1 F \\ -k c_3 F_4 d & B_2 & c_4 F_6 d \\ -k c_1 c_3 F_{10} & B_3 & c_5 F_3 d^2 + c_7 \end{vmatrix},$$

$$\Delta_{\phi_y(x)} = \begin{vmatrix} k(F_1 d^2 + c_1 F_7) & F_4 d & B_1 \\ -k c_3 F_4 d & F_2 d^2 + c_6 & B_2 \\ -k c_1 c_3 F_{10} & c_4 F_{11} d & B_3 \end{vmatrix}.$$

در این روش، توابع  $\phi_x(x)$ ،  $\phi_y(x)$  و  $W(x)$  با عبارات زیر تعریف می‌شوند:

$$W(x) = \frac{\Delta_{W(x)}}{\Delta},$$

$$\phi_x(x) = \frac{\Delta_{\phi_x(x)}}{\Delta}, \quad (38)$$

$$\phi_y(x) = \frac{\Delta_{\phi_y(x)}}{\Delta}.$$

با جای گذاری روابط (35) در (36) و با ساده سازی داریم:

$$W(x) = S_1 \times \sin(k_x \cdot x) + T_1,$$

$$\phi_x(x) = S_2 \times \cos(k_x \cdot x) + T_2, \quad (39)$$

$$\phi_y(x) = S_3 \times \sin(k_x \cdot x) + T_3.$$

در این روابط ضرایب  $S_i$  عبارتند از:

$$S_1 = \frac{fk_y}{D_{11}} m_3 \sin(k_x x) (c_1 c_6 F_5 - k_x^2 c_1 F_2 F_5 - k_x^2 c_4 F_4 F_6) +$$

$$\frac{fk_x^2}{D_{11}} m_2 \sin(k_x x) (k_x^2 c_3 F_3 F_4 - c_4 c_5 F_3 F_6 + c_7 F_4),$$

$$S_2 = \frac{fk_x k_y}{D_{11}} m_3 \cos(k_x x) (k c_4 c_5 F_6 F_7 + k c_4 c_5 F_2 F_5 - k_x^2 c_4 F_4 F_6) +$$

$$\frac{k f k_x}{D_{11}} m_2 \cos(k_x x) (k_x^2 c_5 F_3 F_7 + k_x^2 c_7 F_4 -$$

$$-k_x^2 c_5 F_3 F_1 + c_1^2 c_3 F_5^2 - c_4 c_7 F_7),$$

$$S_3 = \frac{k f k_y}{D_{11}} m_3 \sin(k_x x) (k_x^2 c_3 F_4^2 + k_x^2 c_6 F_1 + k_x^2 c_1 F_2 F_7 - c_4 c_6 F_7) +$$

$$\frac{k f k_x^2}{D_{11}} m_2 \sin(k_x x) (c_4 c_6 F_6 F_7 + c_4 c_3 F_4 F_5 - k_x^2 c_4 F_4 F_6).$$

همچنین، داریم:

$$T_1 = \frac{-q_0}{K_s \cdot A_{55}} \times c_6 c_7 m_1,$$

$$T_2 = 0, \quad (41)$$

$$T_3 = \frac{-q_0}{K_s \cdot A_{55}} \times k \ c_1 \ c_3 \ c_6 \ F_5 \ m_1.$$

$$c_1 = \frac{A_{44}}{A_{55}}, c_2 = \frac{D_{22}}{D_{11}}, c_3 = K_s \frac{A_{55}}{D_{11}}, c_4 = \frac{D_{12} + D_{66}}{D_{11}}, \quad (34)$$

$$c_5 = \frac{D_{66}}{D_{11}}, c_6 = c_5 F_8 - c_3 F_2, c_7 = c_2 F_9 - c_1 c_3 F_3.$$

و همچنین داریم:

$$F_1 = \int_0^b W(y)^2 dy, \quad F_2 = \int_0^b \phi_x(y)^2 dy,$$

$$F_3 = \int_0^b \phi_y(y)^2 dy, \quad F_4 = \int_0^b W(y) \phi_x(y) dy,$$

$$F_5 = \int_0^b W(y) \frac{\partial \phi_y(y)}{\partial y} dy, \quad F_6 = \int_0^b \phi_x(y) \frac{\partial \phi_y(y)}{\partial y} dy, \quad (35)$$

$$F_7 = \int_0^b W(y) \frac{\partial^2 W(y)}{\partial y^2} dy, \quad F_8 = \int_0^b \phi_x(y) \frac{\partial^2 \phi_x(y)}{\partial y^2} dy,$$

$$F_9 = \int_0^b \phi_y(y) \frac{\partial^2 \phi_y(y)}{\partial y^2} dy, \quad F_{10} = \int_0^b \phi_y(y) \frac{\partial W(y)}{\partial y} dy,$$

$$F_{11} = \int_0^b \phi_x(y) \frac{\partial \phi_x(y)}{\partial y} dy.$$

و نیز:

$$B_1 = \frac{-q_0}{K_s A_{55} 0} \int_0^b W(y) dy,$$

$$B_2 = \frac{-k_x \cdot f}{D_{11}} \cos(k_x \cdot x) \times \int_0^b \phi_x(y) \sin(k_y \cdot y) dy, \quad (36)$$

$$B_3 = \frac{-k_y \cdot f}{D_{11}} \sin(k_x \cdot x) \times \int_0^b \phi_y(y) \cos(k_y \cdot y) dy.$$

دستگاه معادلات (33)، یک دستگاه معادلات دیفرانسیل خطی کوپل است که برای حل آن از روش اپراتور استفاده می‌شود.

## ۵ - حل دستگاه معادلات دیفرانسیل خطی تعادل ورق ارتوتروپ با روش اپراتور

روش اپراتور روشی مناسب و دقیق برای حل دستگاه معادلات دیفرانسیل خطی کوپل، شبیه دستگاه معادلات (33) می‌باشد. اساس این روش بر مبنای دستور کرامر است و در آن با استفاده از اپراتور مشتق یعنی  $d = d/dy$  و رابطه (31) نوشته شده و سپس دستگاه حل می‌شود [27]. با استفاده از دستور کرامر در ریاضیات برای دستگاه (33) می‌توان نوشت:

$$\Delta = \begin{vmatrix} k(F_1 d^2 + c_1 F_7) & F_4 d & c_1 F \\ -k c_3 F_4 d & F_2 d^2 + c_6 & c_4 F_6 d \\ -k c_1 c_3 F_{10} & c_4 F_{11} d & c_5 F_3 d^2 + c_7 \end{vmatrix}, \quad (37)$$

معرف جواب‌های خصوصی مسئله بوده و  $SP_i$  نیز به صورت زیر تعریف می‌شود:

$$SP_i = \frac{S_i}{-k_x^6 A_1 + k_x^4 A_2 - k_x^2 A_3 + A_4}, \quad i = 1, 2, 3.$$

با توجه به نوع شرایط مرزی که در هر یک از لبه‌های ورق وجود دارد، می‌توان مقادیر اولیه توابع  $\phi_x(x), \phi_y(x)$  و  $W(x)$  را به دست آورد. به عنوان مثال، برای ورق با شرایط مرزی گیردار در لبه‌های  $x=0, a$  [۲۶] داریم:

$$W(0) = W(a) = 0, \quad \left. \frac{dW(x)}{dx} \right|_{x=0} = \left. \frac{dW(x)}{dx} \right|_{x=a} = 0, \quad (۴۷)$$

$$\phi_y(0) = \phi_y(a) = 0,$$

و یا اگر تکیه‌گاه‌ها به صورت مفصلی باشند، داریم:

$$W(0) = W(a) = 0, \quad \left. \frac{d^2 W(x)}{dx^2} \right|_{x=0} = \left. \frac{d^2 W(x)}{dx^2} \right|_{x=a} = 0 \quad (۴۸)$$

$$\phi_x(0) = \phi_x(a) = 0$$

در ادامه، با مشخص شدن توابع  $\phi_x(y), \phi_y(x)$  و  $W(x)$  مجدداً همین روند حل برای تعیین توابع  $\phi_x(x), \phi_y(x)$  و  $W(x)$  به کار برده می‌شود. در این حالت دستگاه معادلات دیفرانسیل خطی به صورت زیر به دست می‌آید، که با حل آن مقادیر توابع  $\phi_x(x), \phi_y(x)$  و  $W(x)$  به صورت زیر تعیین می‌شوند:

$$\begin{aligned} k(G_7 + c_1 G_4 d^2) W(y) + G_3 \phi_x(y) + c_1 G_4 d \phi_y(y) &= V_1, \\ -k c_3 G_{10} W(y) + (J_1 + c_5 G_2 d^2) \phi_x(y) + c_4 G_4 d \phi_y(y) &= V_2, \\ -k c_3 G_4 d W(y) + c_4 G_{11} d \phi_x(y) + (c_2 G_3 d^2 + J_2) \phi_y(y) &= V_3 \end{aligned} \quad (۴۹)$$

در این حالت نیز مقادیر هر یک از ضرایب با روش‌های حل عددی نظیر آنچه که در مرحله قبل گفته شد محاسبه می‌شود. با تکرار این روش، پس از حداقل سه بار تکرار، پاسخ‌ها به دقت و هم‌گرایی مناسبی می‌رسند.

## ۶ - نتایج عددی

برنامه محاسباتی برای روش تکرارشونده کانتروویچ توسط نرم‌افزار MAPLE نوشته شده و نتایج به دست آمده با نتایج حاصل از روش‌های حل دیگر برای ورق مشابه مقایسه شده است. ورق مربعی، به ابعاد  $10 \times 10 \text{ cm}$  و ضخامت  $0.1 \text{ mm}$  از جنس آلومینیوم و گرافیت اپوکسی انتخاب شده است. به عنوان اولین مثال، مسئله خمش ورق مربعی شکل

در روابط (۴۰-۴۱) مقادیر  $m_1, m_2, m_3$  به صورت زیر تعریف شده‌اند:

$$\begin{aligned} m_1 &= \int_0^b W(y) dy, \\ m_2 &= \int_0^b \phi_x(y) \sin(k_y \cdot y) dy, \\ m_3 &= \int_0^b \phi_y(y) \cos(k_y \cdot y) dy. \end{aligned} \quad (۴۲)$$

با توجه به روابط (۳۸) و مقدارگذاری از روابط (۳۹-۴۲) در آن، دستگاه معادلات دیفرانسیل خطی کوپل (۳۳)، به یک دستگاه خطی مستقل به صورت زیر تبدیل می‌شود:

$$\begin{aligned} A_1 \times \frac{d^4 W(x)}{dx^4} + A_2 \times \frac{d^4 W(x)}{dx^4} + A_3 \times \frac{d^4 W(x)}{dx^4} + \\ A_4 \times W(x) &= S_1 \sin(k_x \cdot x) + T_1, \\ A_1 \times \frac{d^6 \phi_x(x)}{dx^6} + A_2 \times \frac{d^4 \phi_x(x)}{dx^4} + A_3 \times \frac{d^2 \phi_x(x)}{dx^2} + \\ A_4 \times \phi_x(x) &= S_2 \sin(k_x \cdot x) + T_2, \\ A_1 \times \frac{d^6 \phi_y(x)}{dx^6} + A_2 \times \frac{d^4 \phi_y(x)}{dx^4} + A_3 \times \frac{d^2 \phi_y(x)}{dx^2} + \\ A_4 \times \phi_y(x) &= S_3 \sin(k_x \cdot x) + T_3. \end{aligned} \quad (۴۳)$$

در معادلات فوق داریم:

$$\begin{aligned} A_1 &= k c_5 F_1 F_2 F_3, \\ A_2 &= k c_1 c_5 F_2 F_3 F_7 + k c_3 c_5 F_3 F_4^2 - \\ & k c_4^2 F_1 F_6 F_{11} + k c_7 F_1 F_2 + k c_5 c_6 F_1 F_3, \\ A_3 &= k c_1^2 c_3 F_2 F_3 F_{10} + k c_6 c_7 F_1 - k c_1 c_3 c_4 F_4 F_6 F_7 - \\ & k c_1 c_4^2 F_6 F_7 F_{11} + k c_1 c_7 F_2 F_7 + k c_1 c_5 c_6 F_3 F_7 \\ & - k c_1 c_3 c_4 F_4 F_5 F_{11} + k c_3 c_7 F_4^2, \\ A_4 &= k c_1 c_6 c_7 F_7 + k c_1^2 c_3 c_6 F_5 F_{10}. \end{aligned} \quad (۴۴)$$

هر یک از معادلات رابطه (۴۴)، یک معادله دیفرانسیل معمولی مرتبه ۴ با معادله مشخصه زیر می‌باشد:

$$A_1 \lambda^6 + A_2 \lambda^4 + A_3 \lambda^2 + A_4 = 0, \quad (۴۵)$$

که جواب آن را به صورت زیر می‌توان نوشت:

$$\begin{cases} W(x) = \sum_{i=1}^6 p_i \cdot \exp(\lambda_i \cdot x) + SP_1 \sin(k_x \cdot x) + \frac{T_1}{A_4} \\ \phi_x(x) = \sum_{i=1}^6 q_i \cdot \exp(\lambda_i \cdot x) + SP_2 \cos(k_x \cdot x) + \frac{T_2}{A_4} \\ \phi_y(x) = \sum_{i=1}^6 r_i \cdot \exp(\lambda_i \cdot x) + SP_3 \sin(k_x \cdot x) + \frac{T_3}{A_4} \end{cases} \quad (۴۶)$$

در این رابطه مقادیر  $\lambda_i$  عبارت است از شش ریشه معادله مشخصه معادله (۴۵) و عبارات  $(T_i / A_4)$  ( $i = 1, 2, 3$ )



قرار گرفته است. مقایسه نتایج به دست آمده برای خیز ورق در غیاب لایه‌های پیزوالکتریک، با نتایج حاصل از تئوری CLPT و حل ANSYS در شکل‌های ۲-۳ و همچنین، در ادامه در جدول ۲ آمده است. المانهای مورد استفاده در نرم‌افزار ANSYS برای ورق المان SOLID46 و برای ورق گرافیت اپوکسی SOLID190 می‌باشد. همچنین، سائز المان در صفحه X-Y در هر دو ورق  $2/5 \times 2/5 \text{ mm}^2$  است. همان‌طور که در این شکل‌ها مشخص است بیشترین مقدار خیز برای ورق با چهار طرف تکیه‌گاه ساده و کمترین مقدار خیز برای ورق با چهار طرف تکیه‌گاه گیردار می‌باشد. همچنین استفاده از تئوری مرتبه اول تغییر شکل برشی (FSDT) جواب‌های دقیق‌تری در مقایسه با تئوری کلاسیک صفحات ارائه می‌کند. همچنین از مقایسه شکل‌های ۲ و ۳ مشخص است که روش (CLPT) در قیاس با حل اجزاء محدود (ANSYS) به علت در نظر نگرفتن اثرات برشی، جواب‌های بالاتری ارائه می‌کند.

**جدول (۱):** مقایسه پاسخ روش کانتروویچ توسعه یافته با نتایج ANSYS و پاسخ تیموشنکو برای ورق آلومینیوم.

شرط مرزی	مقدار خیز (W[m]e-7)			
	ANSYS	CLPT	FSDT	Timoshenko [26]
<sup>2</sup> SSSS	۱/۲۴۱۳	۱/۲۰۴۷۶	۱/۲۱۶۷۵	۱/۲۳۸۸
<sup>3</sup> CCCC	۰/۳۸۱۷۵	۰/۳۶۹۷۷	۰/۳۷۳۶۷	۰/۳۸۵۵۸
<sup>4</sup> SCSC	۰/۵۷۹۹۲	۰/۵۵۹۹۸	۰/۵۶۳۸۷	۰/۵۸۳۷
<sup>5</sup> SSSC	۰/۸۴۶۹۶	۰/۸۱۵۲۱	۰/۸۲۶۵۷	۰/۸۴۹۱۸

- ۱- SSSS: چهار طرف ورق با تکیه‌گاه ساده  
 ۲- CCCC: چهار طرف ورق با تکیه‌گاه گیردار  
 ۳- SCSC: دو لبه مفصلی، دولبه گیردار  
 ۴- SSSC: سه لبه مفصلی، یک لبه گیردار

آلومینیوم (ایزوتروپ)، با خواص مطرح شده یک‌بار برای حالتی که ورق به تنهایی تحت بارگذاری یکنواخت و سینوسی قرار دارد، و بار دیگر برای حالتی که دو لایه پیزوالکتریک هر یک به ضخامت  $0/1 \text{ mm}$  به بالا و پایین ورق چسبانده شده، به کمک روابط به دست آمده در تئوری FSDT، مورد بررسی قرار گرفته است. در ادامه و در جدول ۱ نتایج به دست آمده با حل ANSYS و نتایج به دست آمده از همین روش بر اساس فرضیات تئوری CLPT [۲۱] و همچنین توسط تیموشنکو [۲۶] مقایسه شده و صحت نتایج تأیید می‌شود. پاسخ‌های تیموشنکو (فقط برای ورق ایزوتروپیک مربعی) به فرم خلاصه  $w = \alpha q_0 a^4 / D$  می‌باشد، که پارامتر  $\alpha$  مربوط به شرایط مرزی ورق،  $q_0$  بار توزیع شده عرضی روی ورق،  $a$  ابعاد ورق و  $D$  سختی خمشی آن می‌باشد. در این حالت برای ورق آلومینیوم،  $D = 3.2774 \text{ [Nm}^2/\text{m}]$  [۲۶].

در کلیه حالات، برای هر دو نوع بارگذاری،  $q_0 = 1 \text{ [N/m}^2]$  در نظر گرفته شده است. همچنین شرایط مرزی در نظر گرفته شده برای تکیه‌گاه‌های مورد بحث در این مقاله به صورت زیر تعریف شده است [۲۶]:

$$\text{Simply supported edge: } w_x = \frac{\partial w}{\partial x} = \phi_x = 0$$

$$\text{Clamped edge: } w_x = \frac{\partial w}{\partial x} = \phi_y = 0$$

و خواص موادی که مسئله برای آنها حل شده است به شرح زیر است [۲۶]:  
 آلومینیوم:

$$E = 69 \text{ Gpa}, \nu = 0.32, G = 26.13 \text{ Gpa},$$

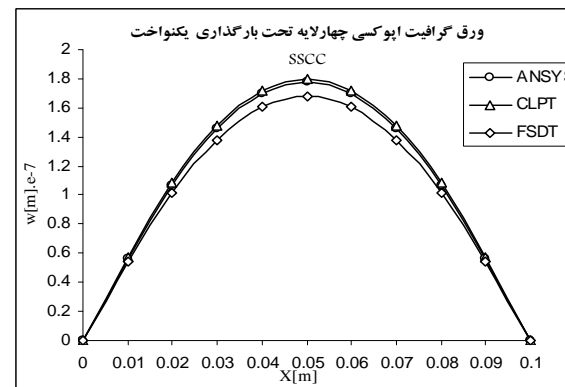
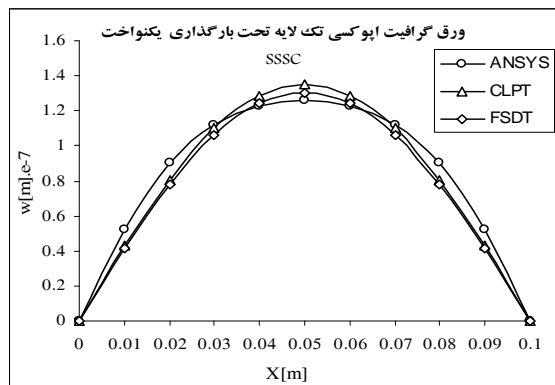
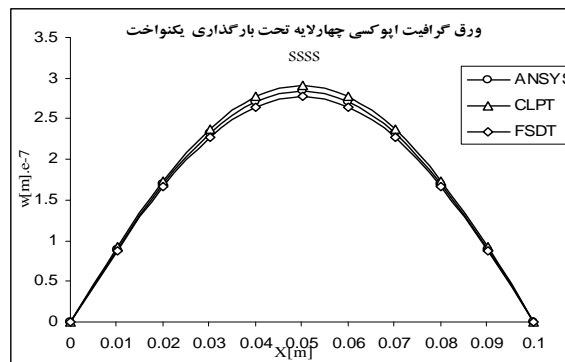
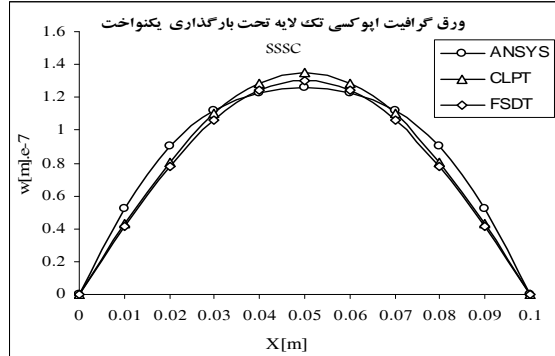
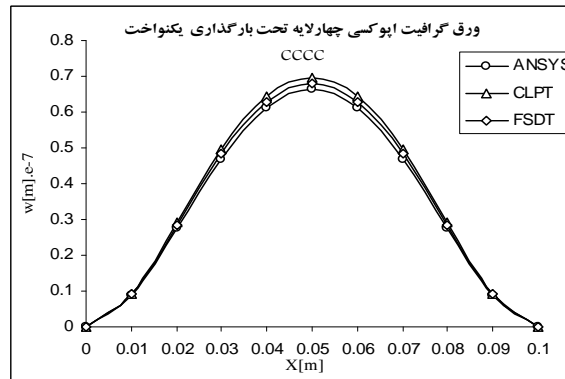
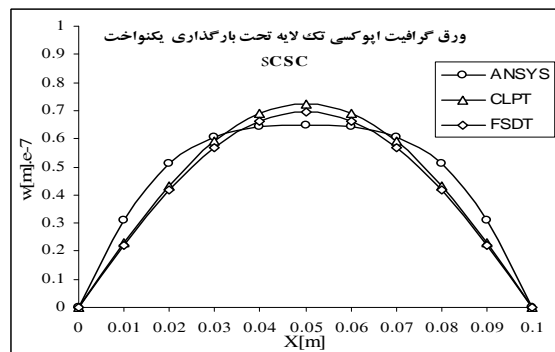
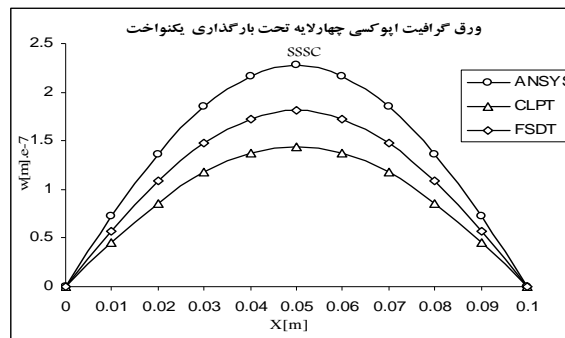
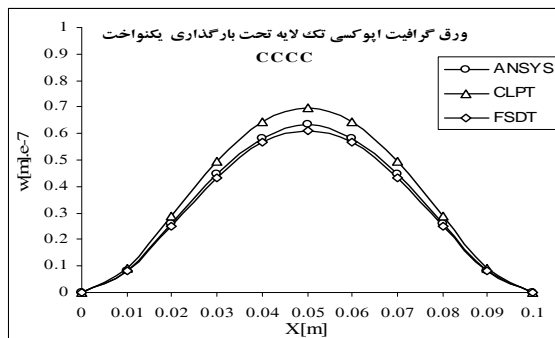
گرافیت اپوکسی:

$$E_{11} = 9.8 \times 1010 \text{ [N/m}^2], E_{22} = 0.79 \times 1010 \text{ [N/m}^2], \\ G_{12} = 0.56 \times 1010 \text{ [N/m}^2], \nu_{12} = 0.28.$$

پیزوالکتریک:

$$E_{11} = 8.84 \times 1010 \text{ [N/m}^2], E_{22} = 7.6 \times 1010 \text{ [N/m}^2], \\ G_{12} = 2.1 \times 1010 \text{ [N/m}^2], \nu_{12} = 0.37, \\ e_{31} = -7.209 \text{ [C/m}^2], e_{33} = 15.118 \text{ [C/m}^2].$$

در مرحله بعد، مسئله خمش ورق، برای ورق گرافیت اپوکسی دولایه (۹۰/۰) و گرافیت اپوکسی چهار لایه (۰/۹۰) s، در دو حالت بارگذاری یکنواخت مورد بررسی



شکل (۳): مقایسه پاسخ روش کانتروویچ توسعه یافته با نتایج ANSYS برای ورق گرافیت اپوکسی تک لایه با شرایط مرزی متفاوت.

شکل (۲): مقایسه پاسخ روش کانتروویچ توسعه یافته با نتایج ANSYS برای ورق گرافیت اپوکسی ۴ لایه [۰/۹۰] با شرایط مرزی متفاوت.

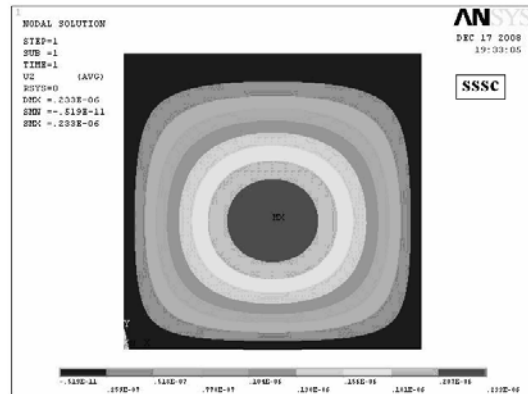
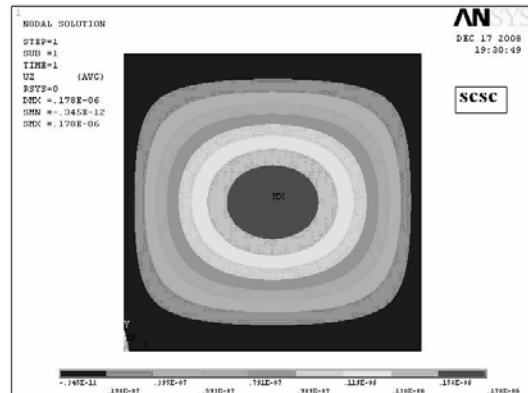
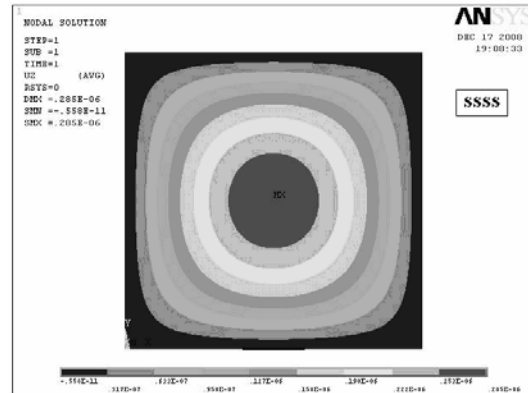
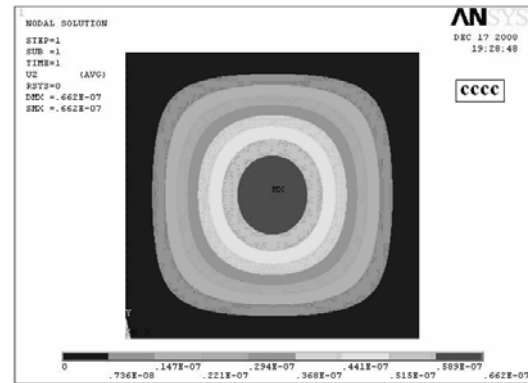
جدول (۲): مقایسه پاسخ روش کانتروویچ توسعه یافته با نتایج ANSYS برای ورق گرافیت اپوکسی.

تعداد لایه	شرط مرزی	مقدار خیز (W[m]e-7)		
		ANSYS SOLID46	CLPT	FSDT
گرافیت اپوکسی چهار لایه	SSSS	۲/۸۴۹۷	۲/۹۰۶۲۷	۲/۷۷۸۴۶
	CCCC	۰/۶۶۲۱۸	۰/۶۹۵۰۷	۰/۶۸۱۱۷
	SCSC	۱/۷۷۹۶	۱/۷۹۹۳۶	۱/۶۸۳۳۷
	SSSC	۲/۲۷۵۳	۲/۲۶۸۷۰	۱/۸۱۰۶۹
گرافیت اپوکسی دو لایه [۹۰/۰]	SSSS	۲/۸۶۳۵	۲/۹۱۶۳۰	۲/۸۵۶۴۳
	CCCC	۰/۶۴۰۸	۰/۶۷۹۰۸	۰/۶۵۷۶۴
	SCSC	۱/۰۵۸۲	۱/۰۸۵۳۶	۱/۰۶۷۵۴
	SSSC	۱/۶۹۴۳	۱/۷۶۳۳۰	۱/۷۴۵۶۱

همچنین، شکل ۴ نتایج تحلیل به کمک ANSYS را برای ورق گرافیت اپوکسی، با شرایط مرزی مختلف نشان می‌دهد. همان‌طور که مشخص است در این حالت بیشترین مقدار خیز برای ورق با چهار طرف تکیه‌گاه ساده و کمترین مقدار خیز برای ورق با چهار طرف تکیه‌گاه گیردار می‌باشد.

در شکل ۵ مسئله خمش ورق، برای ورق گرافیت اپوکسی چهار لایه [۹۰/۰] به همراه لایه‌های پیزوالکتریک، در دو حالت بارگذاری یکنواخت و سینوسی مورد بررسی قرار گرفته است. در هر دو حالت بارگذاری بیشترین مقدار خیز برای ورق با چهار طرف تکیه‌گاه ساده و کمترین مقدار خیز برای ورق با چهار طرف تکیه‌گاه گیردار می‌باشد. همچنین خیز ماکزیمم برای دو حالت چهار طرف تکیه‌گاه ساده و یا چهار طرف تکیه‌گاه گیردار به علت تقارن در بارگذاری و یا تقارن در شرایط مرزی در نقطه وسط ورق اتفاق می‌افتد.

نتایج هم‌گرایی برای ورق با شرایط مرزی متفاوت در شکل ۶ نشان داده شده است. همان‌طور که مشخص است، تنها تعداد کمی تکرار برای حل به‌روشن تکرار شونده برای هر ورق لازم است تا نتایج به هم‌گرایی مطلوب برسد. این نشان می‌دهد که نتایج در این روش مستقل از توابع آزمون اولیه بوده و به‌سرعت هم‌گرا می‌شوند.

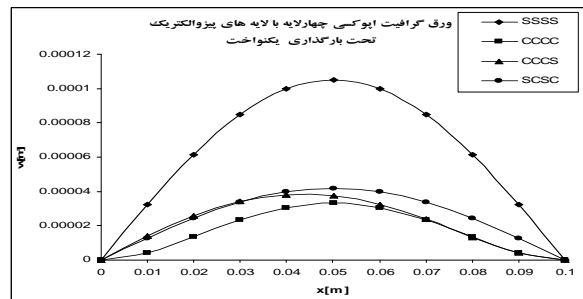
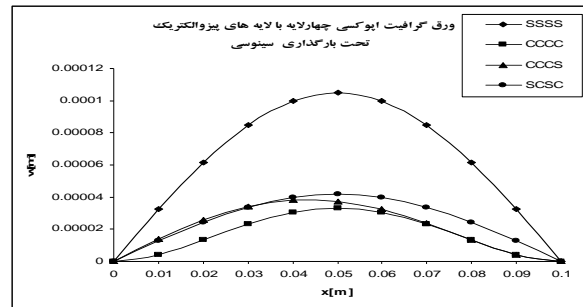


شکل (۴): نتایج ANSYS برای خیز ورق گرافیت اپوکسی ۴ لایه با شرایط مرزی SSSC, CCCC, SSSS و SCSC.

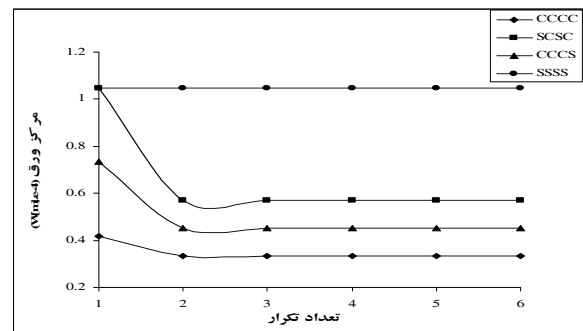
به دست می آیند، که در این مقاله، به کمک روش کانتروویچ این دستگاه به دستگاه معادلات دیفرانسیل خطی مستقل تبدیل شده است. همچنین اعتبار روش حل ارائه شده، با مقایسه‌ی جواب‌های دقیق موجود، تأیید شده است. نتایج نشان می‌دهد که با افزایش ضخامت ورق، نتایج حاصل از روش کانتروویچ بر مبنای فرضیات تئوری FSDT، از دقت بیشتری نسبت به نتایج به دست آمده از تئوری CLPT برخوردار است. همچنین اثر تغییر شکل برشی در ضخامت‌های زیاد، افزایش یافته و صرف‌نظر از آن سبب کاهش دقت در تحلیل می‌شود. به علاوه نشان داده شد که روش تکرار شونده (کانتروویچ) به سرعت هم‌گراست و دقت نسبتاً خوبی نسبت به نتایج ارائه شده بر اساس روش‌های تحلیلی دیگر دارد. همچنین شکل نهایی معادله به دست آمده برای خیز ورق و در نتیجه پاسخ‌های نهایی، کاملاً مستقل از انتخاب جواب اولیه است. به این ترتیب نشان داده شد که تابع آزمون اولیه لازم نیست هیچ‌یک از شرایط مرزی هندسی و طبیعی را ارضا کند. زیرا جواب‌های حل تکرار شونده، سرانجام هر مدل آرایش شرایط مرزی را ارضا خواهد کرد.

## مراجع

1. Lee H.J., "Finite Element Analysis of Active and Sensory Thermopiezoelectric Composite Materials", Glenn Research Center, Ohio, 2001.
2. Gopinathan, S.V., "Modeling of Piezoelectric Smart Structures for Active Vibration and Noise Control Applications", Pennsylvania State Univ., Dep't. Eng. Sci. Mech., August, 2001.
3. Kargarnovin, M.H., Najafizadeh, M.M., and Viliani, N.S., "Vibration Control of FGM Plate Patched with Piezoelectric Actuators and Sensors under a Constant Electric Charge", Smart Mater. Struct., Vol. 16, No. 4, pp. 1252-1259, 2007.
4. Mitchell, J.A. and Reddy, J.N., "A Refined Hybrid Plate Theory for Composite Laminated with Piezoelectric Laminas", Int. J. Solid Struct., Vol. 32, No. 16, pp. 2345-2367, 1995.
5. Kerr, A.D., "An Extension of the Kantorovich Method", Quart. Appl. Math., Vol. 26, pp. 219-229, 1968.



شکل (۵): خیز ورق گرافیت اپوکسی [۹۰/۰] با لایه‌های پیزوالکتریک تحت بارگذاری سینوسی و یکنواخت بر اساس تئوری FSDT.



شکل (۶): هم‌گرایی پاسخ‌ها در روش کانتروویچ توسعه یافته برای ورق پیزو-گرافیت اپوکسی [۰/۹۰] تحت بارگذاری یکنواخت.

## ۷ - نتیجه‌گیری

در این مقاله، رفتار خمشی در ورق‌های کامپوزیتی مستطیل شکل، مورد بررسی قرار گرفته و حل تحلیلی بر مبنای روش کانتروویچ ارائه گردیده است. معادلات دیفرانسیل به دست آمده بر پایه روش گالرکین و بر مبنای تئوری مرتبه اول تغییر شکل برشی به دست آمده‌اند. با توجه به فرضیات تئوری مرتبه اول تغییر شکل برشی، معادلات تعادل ورق به صورت دستگاه معادلات دیفرانسیل غیر خطی کوپل،

- The IC. on Modeling and Optimization of Struct., Processes and Systems, ICMOSPS/07, Durban, South Africa, 2007.
18. Abouhamze, M., Aghdam, M.M., and Alijani, F., "Bending Analysis of Symmetrically Laminated Cylindrical Panels, Using the Extended Kantorovich Method", *Mech. Adv. Mat. Struct.*, Vol. 14, No. 7, pp. 523–530, 2007.
  19. Dalei, M. and Kerr, A.D., "Analysis of Clamped Rectangular Orthotropic Plates Subjected to Uniform Lateral Load", *Mech. Sci.*, Vol. 37, No. 5, pp. 527–535, 1995.
  20. Kerr, A.D. and Alexander, H., "An Application of the Extended Kantorovich Method to the Stress Analysis of Clamped Rectangular Plate", *Acta Mech.*, Vol. 6, No's. 2-3, pp. 180–196, 1968.
۲۱. نجفی‌زاده، م.م.، علوی، م.، سلماسی، ف. و آذری، ش.، "تحلیل خیز صفحات چهار گوش FGM براساس تئوری کلاسیک صفحات به روش کانتروویچ توسعه یافته"، فصل‌نامه علمی تخصصی مهندسی مکانیک جامدات، دانشگاه آزاد اسلامی واحد خمینی‌شهر، شماره سوم، پاییز ۸۷.
22. Reddy, J.N., "Theory and Analysis of Elastic Plates", Taylor & Francis, Philadelphia, PA, 1999.
  23. Wang, C.M., Wang, C.Y., and Reddy, J.N., "Exact Solutions for Buckling of Structural Members", CRC Press, Boca Raton, FL, 2005.
  24. Jones, Robert M., "Mechanics of Composite Materials", McGraw-Hill, New York, 1975.
- ۲۵- نجفی‌زاده، م.م.، علوی، م.، سلماسی، ف. و آذری، ش.، "تحلیل خیز صفحات چهار گوش کامپوزیت براساس تئوری سطح خنثی به روش کانتروویچ توسعه یافته"، فصل‌نامه علمی پژوهشی تحقیقات مکانیک کاربردی، دانشگاه آزاد اسلامی واحد تاکستان، شماره چهارم، بهار ۸۸.
6. Fariborz, S.J. and Pourbohloul, A., "Application of the Extended Kantorovich Method to the Bending of Variable Thickness Plates", *Comp. Struct.*, Vol. 31, No. 6, pp. 957–965, 1989.
  7. Kerr, A.D., "An Extended Kantorovich Method for the Solution of Eigen Value Problems", *Solids and Struct.*, Vol. 5, No. 6, pp. 559–572, 1969.
  8. Jones, R. and Milne, B.J., "Application of Extended Kantorovich Method to the Vibration of Clamped Rectangular Plates", *Sounds and Vib.*, Vol. 45, No. 3, pp. 309–316, 1976.
  9. Yuan, S. and Jin, Y., "Computation of Elastic Buckling Loads of Rectangular Thin Plates, Using the Extended Kantorovich Method", *Comp. Struct.*, Vol. 66, No. 6, pp. 861–867, 1998.
  10. Ungbhakorn, V. and Singhatanadgid, P., "Buckling Analysis of Symmetrically Laminated Composite Plates by the Extended Kantorovich Method", *Compos. Struct.*, Vol. 73, No. 1, pp. 120–128, 2006.
  11. Jana, P. and Bhaskar, K., "Stability Analysis of Simply-Supported Rectangular Plates under Non-Uniform Uniaxial Compression, Using Rigorous and Approximate Plane Stress Solutions", *Thin-Walled Struct.*, Vol. 44, No. 5, pp. 507–516, 2006.
  12. Kim, H.S., Cho, M., and Kim, G.I., "Free-Edge Strength Analysis in Composite Laminates by the Extended Kantorovich Method", *Compos. Struct.*, Vol. 49, No. 2, pp. 229–235, 2000.
  13. Aghdam, M.M., Shakeri, M., and Fariborz, S.J., "Solution to the Reissner Plate with Clamped Edges", *ASCE J. Eng. Mech.*, Vol. 122, No. 7, pp. 679–682, 1996.
  14. Aghdam, M.M. and Falahatgar, S.R., "Bending Analysis of Thick Laminated Plates Using Extended Kantorovich Method", *Compos. Struct.*, Vol. 62, No. 3-4, pp. 279–283, 2003.
  15. Liew, K.M., Xiang, Y., and Kitipornchai, S., "Analytical Buckling Solution for Mindlin Plates Involving Free Edges", *Mech. Sci.*, Vol. 38, No. 10, pp. 1127–1138, 1996.
  16. Aghdam, M.M., Mohammadi, M., and Erfanian, V., "Bending Analysis of Thin Annular Sector Plates, Using Extended Kantorovich Method", *Thin-Walled Struct.*, Vol. 45, No. 12, pp. 983–990, 2007.
  17. Aghdam, M.M. and Mohammadi, M., "Extended Kantorovich Method for Static Analysis of Thick Orthotropic Sector Plates",

